

Curve

Una curva parametrizzata è una mappa liscia (i.e., C^∞)
 $\alpha: I \rightarrow \mathbb{R}^3$, $t \mapsto (x(t), y(t), z(t))$, con I intervallo in \mathbb{R}

Chiamiamo **supporto** o **Traccia** di una curva α la sua immagine $\alpha(I) \subseteq \mathbb{R}^3$.

Definiamo il **vettore velocità** come lo Jacobiano di α , ossia:

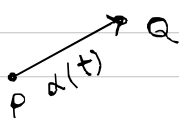
$$\alpha'(t) \triangleq \lim_{h \rightarrow 0} \frac{\alpha(t+h) - \alpha(t)}{h}$$


$$\rightsquigarrow \alpha = (x, y, z) \Rightarrow \alpha' = (x', y', z') \quad (\text{comp. per comp.})$$

Definiamo la **lunghezza** di α come $l(\alpha) \triangleq \int_{I^+}^{} \| \alpha'(t) \| dt \in \mathbb{R}_{\geq 0}$
orient verso destra

Esempio Convinciamoci del fatto che $l(\alpha)$ implementa correttamente la nostra idea di lunghezza.

i) segmento lineare

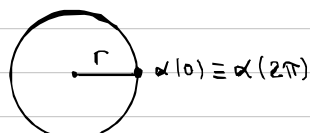


$$\alpha: [0,1] \rightarrow \mathbb{R}^3, t \mapsto P + t(Q-P)$$

$$\text{Quindi } \alpha'(t) = Q-P \Rightarrow l(\alpha) = \int_0^1 \| Q-P \| dt = \| Q-P \| \quad \checkmark$$

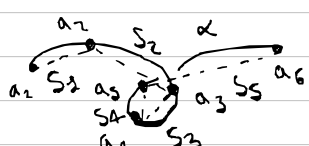
ii) circonferenza

$$\alpha: [0, 2\pi] \rightarrow \mathbb{R}^3, t \mapsto r(\cos(t), \sin(t), 0)$$



$$\alpha'(t) = r(-\sin(t), \cos(t), 0) \rightsquigarrow l(\alpha) = \int_0^{2\pi} r dt = 2\pi r.$$

L'idea intuitiva è che, dal momento che "l'intuizione funziona sui segmenti", il risultato teorico sia dato dal fatto che "il limite delle lunghezze di funzioni a tratti composte da segmenti" sia proprio la lunghezza (a livello di integrale).



* che "approssimano α ", come in figura.

Il risultato tecnico (non dim) è il seguente:

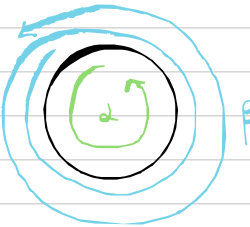
$$\boxed{\text{Data } \varepsilon > 0, \exists m > 0 \text{ t.c. } \max_{\substack{\text{segm. i-esimo} \\ \text{seguono}}} |S_i| < m, \quad |\ell(\alpha) - \ell(\beta)| < \varepsilon}$$

Q: $\ell(\cdot)$ dipende o no dalla parametrizzazione? Basta avere supporto uguale?

No: $\alpha(t) = (\cos(t), \sin(t), 0)$, $\beta(t) = (\cos(2t), \sin(2t), 0)$.

con $t \in [0, 2\pi]$, hanno stesso supporto, ma

β percorre due volte la circonferenza, e infatti $\ell(\beta) = 2\ell(\alpha) \neq \ell(\alpha)$



Il punto è che β in effetti riparametrizza α , ma correttamente solo su $I = [0, \pi]$, non $I = [0, 2\pi]$!

Data $\alpha: I \rightarrow \mathbb{R}^3$, una **riparametrizzazione** di α è una mappa $\beta: J \rightarrow \mathbb{R}^3$ t.c. $\exists h: J \rightarrow I$ diffeomorfismo (i.e., C^∞ con inversa C^∞) di modo che il seguente diagramma commut.

$$\begin{array}{ccc} J & \xrightarrow{h} & I \\ & \searrow \beta & \downarrow \alpha \\ & & \mathbb{R}^3 \end{array} \quad \beta = \alpha \circ h.$$

Dal momento che h è invertibile, sugli intervalli $I = [a, b]$, $J = [c, d]$ possono esserci solo due casi:

I: $h(a) = c, h(b) = d, h' > 0$ (orientam. positivo/accordo)

II: $h(a) = d, h(b) = c, h' < 0$ (" negativo/disaccordo)

Infatti da $h \circ h^{-1} = id$ si deduce che:

$$h(h^{-1}(t))|h'(h^{-1}(t)) = 1 \Rightarrow h'(t) \neq 0 \quad \forall t \text{ e dunque (siccome } h \in C^\infty)}$$

- o $h' > 0$
- o $h' < 0$.

Prop. Se β è una riparam. di α , allora $\ell(\beta) = \ell(\alpha)$.

$$\alpha(t) = \int_{I^+} \|\alpha'(t)\| dt = \int \left\| \frac{\beta'(h(t))}{h'(h^{-1}(t))} \right\| |h'(t)| dt$$

$\stackrel{I}{=} \int_{J^+} \|\beta'(s)\| \underbrace{|h'(h^{-1}(s))|}_{1} ds = \int_{J^+} \|\beta'(s)\| ds = \ell(\beta)$

$\stackrel{II}{\searrow} \int_{J^-} \|\beta'(s)\| \underbrace{\frac{|h'(h^{-1}(s))|}{h'(h^{-1}(s))}}_{-1} ds = \int_{J^+} \|\beta'(s)\| ds = \ell(\beta) \quad \square$

Diciamo che α è **regolare** se non ha mai velocità nulla
(i.e., $\alpha'(t) \neq 0 \forall t$).

Se α è regolare, α ammette una riparametrizzazione data dalla "cord. curvilinea", ossia indotta dalla lunghez. d'arco.

$$s(t) \triangleq \int_0^t \|\alpha'(u)\| du \rightsquigarrow \beta = \alpha \circ s^{-1}$$

$\in I \quad \neq 0 \forall u \quad (s: I \rightarrow [0, \ell(\alpha)])$
→ invertibile

Esempio. Consideriamo il segmento \overrightarrow{PQ} : ($P \neq Q$)

$$\alpha(t) = P + t(Q-P) \Rightarrow \alpha'(t) = Q-P \neq 0$$

$$\text{Dunque, } s(t) = \int_0^t \|Q-P\| du = \|Q-P\| t \Rightarrow$$

$$\Rightarrow \beta(t) = \alpha\left(\frac{t}{\|Q-P\|}\right) = P + t \underbrace{\frac{Q-P}{\|Q-P\|}}_{\text{unitario}} \quad J = [0, \|Q-P\|]$$

Non è un caso aver ottenuto nella riparametrizz. un vettore velocità sempre **unitario**: vale in generale

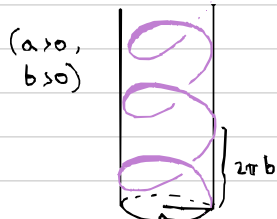
$$\|\alpha'(t)\| = \|\beta(s(t))'\| = \|\beta'(s(t))\| |s'(t)| \rightsquigarrow$$

$$\rightsquigarrow \|\beta'(s(t))\| = \frac{\|\alpha'(t)\|}{|s'(t)|} = \|\alpha'(t)\| = 1 \quad \checkmark \quad (s \text{ è biunivoca})$$

→ nella realtà la riparam. tramite lunghezza d'arco è difficilm. esprimibile in modo esplicito (vd., $\alpha(t) = (t, t^2, t^3)$).

Esempio (elica)

Sia $\alpha: \mathbb{R} \rightarrow \mathbb{R}^3$, $t \mapsto (\alpha \cos(t), \alpha \sin(t), bt)$ Se $\alpha > 0$, $b > 0$, α rappresenta un'elica destrorsa.



$$\alpha'(t) = (-\alpha \sin(t), \alpha \cos(t), b) \rightsquigarrow \text{sempre regolare!}$$

$$\rightsquigarrow l(\alpha|_{[c,d]}) = \int_c^d \sqrt{\alpha^2 + b^2} dt = \sqrt{\alpha^2 + b^2} (d - c)$$

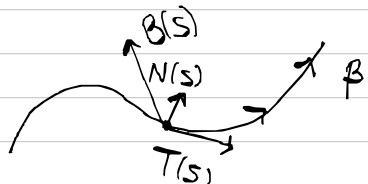
$$S(t) = \sqrt{\alpha^2 + b^2} \xrightarrow{\beta = \alpha S^{-1}} \beta(t) = \left(\alpha \cos\left(\frac{t}{\sqrt{\alpha^2 + b^2}}\right), \alpha \sin\left(\frac{t}{\sqrt{\alpha^2 + b^2}}\right), b \frac{t}{\sqrt{\alpha^2 + b^2}} \right)$$

Si dice che una curva è parametrizzata a lunghezza d'arco (p.l.a.) se $\|\alpha'(t)\| = 1 \forall t$. In tal caso, dopo t tempo avrai percorso t unità della curva.

Equazioni di Frenet

→ definiamo $T(s) \triangleq \beta'(s)$ come il versore tangente per una curva β .

Se β è p.l.a., definiamo curvatura di β il valore $k(s) \triangleq \|T'(s)\|$



Una curva regolare si dice di Frenet se la sua curvatura p.l.a. è $T.c.$

normale principale:

$$N(s) \triangleq T'(s) / \|T'(s)\|$$

* la def. è ben posta: una curva regolare ammette riparam. p.l.a. e queste concordano sulle nullità di $k(\cdot)$.

Analogamente è ben definito il versore binormale:

$$B(s) = \underbrace{T(s)}_{\text{versore}} \times \underbrace{N(s)}_{\text{versore}}$$

PRIMA EQUAZIONE DI FRENET

$$\boxed{T'(s) = \kappa(s) N(s)} \quad \leftarrow \quad T'(s) = \frac{\|T'(s)\|}{\|T'(s)\|} \frac{T'(s)}{\|T'(s)\|}$$

La Tripletta $(T(s), N(s), B(s))$ è una base ortonormale ed è detta riferimento di Frenet (o Triedro di Frenet).

Cerchiamo di caratterizzare anche N' e B' . Dal momento che $N(s) \perp N'(s)$, allora $N'(s) \in N(s)^\perp = \text{span}(T(s), B(s))$. In particolare, $T(s) \cdot N(s) = 0 \Rightarrow \underbrace{T'(s) \cdot N(s)}_{\kappa(s)} + T(s) \cdot N'(s) = 0$, da cui si deduce che relativo a $T(s)$ in $N'(s)$ è $-\kappa(s)$. Definiamo allora $\tau(s)$, detta torsione, di modo che valga la seguente equazione:

SECONDA EQUAZIONE DI FRENET

$$\boxed{N'(s) = -\kappa(s) T(s) + \tau(s) B(s)}$$

Analogamente, $B'(s) \in \text{span}(T(s), N(s))$. Da $T(s) \cdot B(s) = 0$ si ottiene $\underbrace{T'(s) \cdot B(s)}_{\kappa(s)N(s) \perp B(s)} + T(s) \cdot B'(s) = 0 \Rightarrow T(s) \cdot B'(s) = 0$. Quindi, $B'(s) \in \text{span}(N(s))$.

In effetti: $N(s) \cdot B(s) = 0 \Rightarrow \underbrace{N'(s) \cdot B(s)}_{\tau(s)} + N(s) \cdot B'(s) = 0 \Rightarrow N(s) \cdot B'(s) = -\tau(s)$, da cui...

TERZA EQUAZIONE DI FRENET

$$\boxed{B'(s) = -\tau(s) N(s)}$$

Chiamiamo l'insieme delle tre equazioni sistema di frenet.

$$\boxed{\begin{pmatrix} T' \\ N' \\ B' \end{pmatrix} = \begin{bmatrix} -\kappa & \tau \\ -\kappa & -\tau \\ \tau & 0 \end{bmatrix} \begin{pmatrix} T \\ N \\ B \end{pmatrix}}$$

→ la curvatura indica quanto la curva è simile a una retta ($K=0 \Rightarrow$ retta); la torsione quanto la curva è planare ($\tau=0 \Rightarrow$ planare)

Q.: la curvatura e la torsione sono ben definite per curve non p.l.a? E i versori?

→ osserviamo intanto che due riparametr. s_1 e s_2 a lunghezze d'arco hanno stessa derivata, quindi — essendo I connesso — s_1 è una traslazione in input di s_2 (e ci aspettiamo dunque di avere le stesse definizioni). In effetti, è così.

Prop. La curvatura, la torsione e il riferimento di Frenet sono indipendenti dalla scelta della riparam. p.l.a., e valgono le seguenti formule:

$$T(s(t)) = \frac{\alpha'(t)}{\|\alpha'(t)\|} = \hat{\alpha'(t)} \quad (\text{I})$$

$$\kappa(s(t)) = \frac{\|\alpha'(t) \times \alpha''(t)\|}{\|\alpha'(t)\|^3} \quad (\text{II})$$

per le curve di Frenet

$$B(s(t)) = \frac{\alpha'(t) \times \alpha''(t)}{\|\alpha'(t) \times \alpha''(t)\|} = \hat{\alpha'(t)} \times \hat{\alpha''(t)} \quad (\text{III})$$

$$N(s(t)) = B(s(t)) \times T(s(t)) = \hat{T}'(s(t)) \quad (\text{IV})$$

$$C(s(t)) = \frac{(\alpha'(t) \times \alpha''(t)) \cdot \alpha'''(t)}{\|\alpha'(t) \times \alpha''(t)\|^2} \quad (\text{V})$$

Sia $s(t)$ una riparam. della curva a lunghezze d'arco con $\alpha(t) = \beta(s(t))$. Allora:

$$(1) \quad \underbrace{\beta'(s(t))}_{T(s(t))} \cdot \underbrace{s'(t)}_{\|\alpha'(t)\|} = \alpha'(t) \Rightarrow$$

$$\Rightarrow T(s(t)) = \frac{\alpha'(t)}{\|\alpha'(t)\|}, \text{ da w. (I)}$$

Derivando ancora si ottiene:

$$(2) \frac{\beta''(s(t)) \cdot \underbrace{s'(t)}^2 + \underbrace{\beta'(s(t)) \cdot s''(t)}_{T(s(t))}}{T'(s(t)) \cdot \| \alpha'(t) \|^2} = \alpha''(t).$$

Prendendo (1) × (2) si ricava, usando $T(s(t)) \times T(s(t)) = 0$:

$$(3) \|\alpha'(t)\|^3 (T(s(t)) \times T'(s(t))) = \alpha'(t) \times \alpha''(t)$$

Prendendo le norme in (3) si ottiene, usando $T \perp T'$:

$$\|\alpha'(t)\|^3 \underbrace{\|T(s(t))\| \cdot \|T'(s(t))\|}_{= 1 \text{ (p.l.a.)}} = \|\alpha'(t) \times \alpha''(t)\|,$$

dà così

$$k(s(t)) = \frac{\|\alpha'(t) \times \alpha''(t)\|}{\|\alpha'(t)\|^3}, \text{ ossia } \text{(II)}.$$

Supponendo ora la curva di Frenet, usiamo la prima eq. di Frenet in (3):

$$(4) k(s(t)) \|\alpha'(t)\|^3 \underbrace{(T(s(t)) \times N(s(t)))}_{B(s(t))} = \alpha'(t) \times \alpha''(t),$$

Quindi:

$$B(s(t)) = \frac{\alpha'(t) \times \alpha''(t)}{k(s(t)) \|\alpha'(t)\|^3} = \frac{\alpha'(t) \times \alpha''(t)}{\|\alpha'(t) \times \alpha''(t)\|}, \text{ da } \text{(II)}.$$

Per definizione $B(s(t)) = T(s(t)) \times N(s(t))$, dunque la (IV) è immediata.

Derivando (2) e usando la prima eq. di Frenet si ottiene:

$$\alpha''(t) = T(s(t)) \cdot s''(t) + k(s(t)) s'(t)^2 N(s(t)) \Rightarrow$$

$$\Rightarrow \alpha'''(t) = \underbrace{T'(s(t))}_{k(s(t)) N(s(t))} s'(t) \cdot s''(t) + T(s(t)) \cdot s'''(t) + k'(s(t)) \cdot s'(t)^3 N(s(t)) + \\ + 2 k(s(t)) s''(t) s'(t) N(s(t)) + \\ + k(s(t)) s'(t)^3 N'(s(t)) = (\rightarrow)$$

$$(*) = S'''(t) T(s(t)) + 3S''(t) S'(t) \kappa(s(t)) N(s(t)) + \\ (5) \quad + S'^3 \kappa'(s(t)) N(s(t)) + S'^3(t) \kappa(s(t)) N'(s(t))$$

Sostituendo la seconda eq. di Frenet in (5) si ottiene:

$$(6) \quad \alpha'''(t) = (S'''(t) - \kappa(s(t)) S'^3(t)) T(s(t)) + (\kappa'(s(t)) S'^3(t) + \\ + 3\kappa(s(t)) S'(t) S''(t)) N(s(t)) + \kappa(s(t)) T(s(t)) S'^3(t) B(s(t))$$

Dalla (II) e la (6) si ottiene infine:

$$\underbrace{(\alpha'(t) \times \alpha''(t))}_{B(s(t))} \cdot \alpha'''(t) = \|\alpha'(t) \times \alpha''(t)\| \kappa(s(t)) T(s(t)) S'^3(t)$$

$$\Rightarrow T(s(t)) = \frac{(\alpha'(t) \times \alpha''(t)) \cdot \alpha'''(t)}{\|\alpha'(t) \times \alpha''(t)\| \kappa(s(t)) S'^3(t)} = \frac{(\alpha'(t) \times \alpha''(t)) \cdot \alpha'''(t)}{\|\alpha'(t) \times \alpha''(t)\|^2},$$

ossia si ottiene la (V) □

Esercizi:

I) Sia data un'elica destrorsa. Se ne calcoli curvatura e torsione.

$$\alpha(t) = (\alpha \cos(t), \alpha \sin(t), bt) \quad (\alpha > 0)$$

$$\hookrightarrow \beta(s) = (\alpha \cos(s/\sqrt{\alpha^2+b^2}), \alpha \sin(s/\sqrt{\alpha^2+b^2}), b(s/\sqrt{\alpha^2+b^2})) = \\ (1) \quad = (\alpha \cos(s/c), \alpha \sin(s/c), b s/c) \quad (c = \sqrt{\alpha^2+b^2})$$

$$\text{Quindi: } T(s) = \beta'(s) = \frac{1}{c} (-\alpha \sin(s/c), \alpha \cos(s/c), b) \Rightarrow$$

$$\Rightarrow T'(s) = \frac{a}{c^2} \underbrace{(-\cos(s/c), -\sin(s/c), 0)}_{N(s)} \xrightarrow{\kappa(s) = N(s) \cdot T'(s)}$$

$$\rightarrow \boxed{\kappa(s) = \alpha/c^2}$$

$$\bullet B(s) = T(s) \times N(s) = \frac{1}{c} (b \sin(s/c), -b \cos(s/c), a) \Rightarrow$$

$$\rightarrow B'(s) = -\frac{b}{c^2} \underbrace{(-\cos(s/c), -\sin(s/c), 0)}_{N(s)} \xrightarrow{T(s) = -B'(s) \cdot N(s)}$$

$$\Rightarrow \boxed{\tau(s) = b/c^2}$$

Riprovaiamoci applicando le formule esplicite:

$$\alpha(t) = (\alpha \cos(t), \alpha \sin(t), bt) \Rightarrow$$

$$\Rightarrow \alpha'(t) = (-\alpha \sin(t), \alpha \cos(t), b) \Rightarrow (\|\alpha'(t)\| = \sqrt{a^2+b^2})$$

$$\Rightarrow \alpha''(t) = (-\alpha \cos(t), -\alpha \sin(t), 0) \Rightarrow$$

$$\Rightarrow \alpha'''(t) = (\alpha \sin(t), -\alpha \cos(t), 0)$$

$$\boxed{K(s(t)) = \frac{\|\alpha'(t) \times \alpha''(t)\|}{\|\alpha'(t)\|^3} = (*)}$$

$$\cdot \alpha'(t) \times \alpha''(t) = \begin{vmatrix} i & j & k \\ -\alpha \sin & \alpha \cos & b \\ -\alpha \cos & -\alpha \sin & 0 \end{vmatrix} = (ab \sin(t), -ab \cos(t), a^2) \Rightarrow$$

$$\Rightarrow \|\alpha'(t) \times \alpha''(t)\| = \sqrt{a^2b^2 + a^4} \stackrel{a^2}{=} a \sqrt{a^2+b^2}$$

$$(*) = \frac{a \sqrt{a^2+b^2}}{\sqrt{a^2+b^2}^3} = a/c^2 \quad \checkmark$$

$$\boxed{\tau(s(t)) = \frac{(\alpha'(t) \times \alpha''(t)) \cdot \alpha'''(t)}{\|\alpha'(t) \times \alpha''(t)\|^2} = (***)}$$

$$\cdot (\alpha'(t) \times \alpha''(t)) \cdot \alpha'''(t) = (ab \sin(t), -ab \cos(t), a^2) \cdot (\alpha \sin(t), -\alpha \cos(t), 0) =$$

$$= a^2 b \sin^2(t) + a^2 b \cos^2(t) = a^2 b$$

$$(***) = \frac{a^2 b}{(a \sqrt{a^2+b^2})^2} = \frac{a^2 b}{a^2 c^2} = b/c^2 \quad \checkmark$$

ii) Sia data $\alpha: \mathbb{R} \rightarrow \mathbb{R}^3$ t.c. $\alpha(t) = (\frac{1}{3}t^3, \sqrt{2}(t \sin(t) + \cos(t)), \frac{1}{2}(t + \sin(t) \cos(t)))$.

- a. Dimostrare che α ristretta a un intorno di 0 è di Frenet
 b. Calcolare curvatura e rif di frenet in $(0, \sqrt{2}, 0)$.

- a. Osserveremo che è sufficiente mostrare prima che $\alpha'(0) \neq 0$ (ossia che α sia localmente regolare in 0) e poi che $\tau'(s(0)) = K(s(0)) > 0$ (per analogo motivo).

* ricordiamo che α è C^∞ .

$$\bullet \alpha'(t) = (t^2, \sqrt{2}t \cos(t), \cos^2(t)) \rightsquigarrow \alpha'(0) = (0, 0, 1) \neq 0 \quad \checkmark$$

$$\bullet \alpha''(t) = (2t, \sqrt{2}(\cos(t) - t \sin(t)), -\sin(2t)) \rightsquigarrow \alpha''(0) = (0, \sqrt{2}, 0)$$

Poiché $\alpha'(0) \times \alpha''(0) = (0, 0, 1) \times (0, \sqrt{2}, 0) = -\sqrt{2} e_1 \neq 0$, allora — per la formula della curvatura — $\kappa(s(0)) \neq 0$, da cui la Tesi. \checkmark

b. $T(s(0)) = \frac{\alpha'(0)}{\|\alpha'(0)\|} = (0, 0, 1) = e_3 \quad \checkmark$

$$\bullet B(s(0)) = \frac{\alpha'(0) \times \alpha''(0)}{\|\alpha'(0) \times \alpha''(0)\|} = (-1, 0, 0) = -e_1 \quad \checkmark$$

$$\bullet N(s(0)) = \underbrace{\frac{B(s(0))}{-e_1}}_{e_3} \times \underbrace{T(s(0))}_{e_3} = (0, 1, 0) = e_2 \quad \checkmark$$

Quindi: il Triedro è $(e_3, e_2, -e_1)$. Per la curvatura si usa ancora la formula esplicita:

$$\kappa(s(0)) = \frac{\|\alpha'(0) \times \alpha''(0)\|}{\|\alpha'(0)\|^3} = \frac{\sqrt{2}}{1} = \sqrt{2} \quad \checkmark$$

iii) $\alpha: \mathbb{R} \rightarrow \mathbb{R}^3$, $\alpha(t) = (t, \frac{1}{\sqrt{2}}t^2, \frac{1}{3}t^3)$

a. Mostrare che α è regolare e di Frenet

b. Calcolare curvatura, torsione e rifi. di Frenet

a. $\alpha'(t) = (1, \sqrt{2}t, t^2) \neq 0 \quad \checkmark$ (regolare)

$$\alpha''(t) = (0, \sqrt{2}, 2t)$$

$$\alpha'''(t) = (0, 0, 2) \cdot \|\alpha'(t)\|^3 = (t^2+1)^3$$

$$\kappa(s(t)) = \frac{\|\alpha'(t) \times \alpha''(t)\|}{\|\alpha'(t)\|^3} = (*) \quad \cdot \alpha'(t) \times \alpha''(t) = (\sqrt{2}t \cdot 2t - \sqrt{2}t^2, \\ \cdot 2t, \sqrt{2}) = (\sqrt{2}t^2, -2t, \sqrt{2})$$

$$(*) = \frac{\sqrt{2}(t^2+2)}{(t^2+1)^3} = \frac{\sqrt{2}}{(t^2+1)^2} > 0 \quad \checkmark$$

di Frenet

$$\cdot \|\alpha'(t) \times \alpha''(t)\| = \sqrt{2} (t^2+1)$$

$$\bullet T(S(t)) = \frac{(\alpha'(t) \times \alpha''(t)) \cdot \alpha'''(t)}{\|\alpha'(t) \times \alpha''(t)\|^2} = \frac{\cancel{\sqrt{2}}}{2(t^2+1)^2} = \frac{\sqrt{2}}{(t^2+1)^2} \quad \checkmark$$

$$\bullet T(S(t)) = \frac{\alpha'(t)}{\|\alpha'(t)\|} = \left(\frac{1}{t^2+1}, \frac{\sqrt{2}t}{t^2+1}, \frac{t^2}{t^2+1} \right) \quad \checkmark$$

$$\bullet B(S(t)) = \frac{\alpha'(t) \times \alpha''(t)}{\|\alpha'(t) \times \alpha''(t)\|} = \left(\frac{t^2}{t^2+1}, -\frac{\sqrt{2}t}{t^2+1}, \frac{1}{t^2+1} \right) \quad \checkmark$$

$$\bullet N(S(t)) = B(S(t)) \times T(S(t)) = \frac{1}{(t^2+1)} \begin{vmatrix} i & j & k \\ t^2 & -\sqrt{2}t & 1 \\ 1 & \sqrt{2}t & t^2 \end{vmatrix} =$$

$$= \frac{1}{(t^2+1)} \cdot (-\sqrt{2}t^3 - \sqrt{2}t, 1-t^4, \sqrt{2}t^3 + \sqrt{2}t). \quad \checkmark$$

10) Sia $\alpha: I \rightarrow \mathbb{R}^3$ regolare. Si mostri che se α ha curvatura nulla ovunque, allora $\alpha(I)$ è contenuta in una retta affine (il viceversa è già stato dimostrato).

Dal momento che le riparametrizzazioni condividono lo stesso supp. di α , supponiamo α p.l.a. Se $K = \|T'(S)\| = \|\alpha''(S)\| = 0$, allora $\alpha''(S) = 0$ ovunque $\xrightarrow[I \text{ connesso}]{}$, $\alpha'(S) = v \in \mathbb{R}^3$ e $\alpha(S) = P + sv$, che parametrizza la retta $P + \text{span}(v)$. \checkmark

11) "di Frenet. Si mostri che α ha torsione nulla ovunque se e solo se α è planare" (i.e., $\alpha(I) \subseteq \text{piano affine}$).

Come prima, possiamo assumere α p.l.a ($\beta \stackrel{\Delta}{=} \alpha$)

$$(\Rightarrow) \quad T(S(t)) = 0 \xrightarrow[\text{eq. d.Frenet}]{\text{terza}} B'(S(t)) = -T(S(t)) N(S(t)) = 0 \implies I \text{ conn.}$$

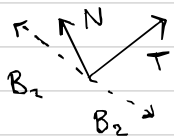
$$\implies B(S(t)) = b \in \mathbb{R}^3$$

Quindi $T(S(t)) \in B(S(t))^\perp = b^\perp \Rightarrow 0 = T(S) \cdot b = B'(S) \cdot b = (\beta(S) \cdot b)' \xrightarrow[I \text{ connesso}]{\text{eq. d.Frenet}} (\beta(S) - \beta(S_0)) \cdot b = 0 \quad \forall S \Rightarrow \beta(I) \text{ è in un piano affine. } \checkmark$

(\Leftarrow) β è planare $\Rightarrow \beta(s) \in \{x \in \mathbb{R}^3 \mid x \cdot b = c\}$ per qualche $b \in \mathbb{R}^3$, $c \in \mathbb{R}$. $\beta(S) \cdot b = c \Rightarrow \underline{\beta'(S) \cdot b = 0} \implies \underline{\kappa(S) T(S) \cdot b = 0} \implies T(S) \cdot b = 0 \quad = \kappa(S) T(S)$

Inoltre $T'(s) \cdot b = \underbrace{k(s)}_{\neq 0} \cdot N(s) \cdot b = N(s) \cdot b = 0 \Rightarrow$

$\rightarrow \beta(s) \in T(s)^\perp \cap N(s)^\perp$. Poiché $\beta(\cdot)$ è continua e può essere solo due vettori*, $\beta(\cdot)$ è necessariamente costante. Dunque $\beta'(s) = 0 \Rightarrow$



$$\Rightarrow -\tau \underbrace{N(s)}_{\neq 0} = 0 \Rightarrow \tau = 0 \quad \checkmark$$

* come nella figura.

vi. $d: I \rightarrow \mathbb{R}^3$ regolare. Se $d(I) \subseteq$ sfera di raggio R , allora d è d : Frenet e $k > \frac{1}{R} > 0$.

Sia $S = \{x \in \mathbb{R}^3 \mid \|x - p\| = R\}$ ($p \equiv$ centro della sfera).

Wlog. assumiamo $\beta \equiv d$ p.l.a.

$\beta(s) \in S \Leftrightarrow \|\beta(s) - p\| = R$. Quindi $(\beta(s) - p) \cdot (\beta(s) - p) = R^2$. Derivando otteniamo:

$$T(s) \cdot (\beta(s) - p) = 0 \xrightarrow{\text{d/ds}} \underbrace{T'(s) \cdot (\beta(s) - p)}_{\text{c.s.}} + \underbrace{T(s) \cdot T(s)}_1 = 0$$

$$\Rightarrow \underbrace{\|T'(s)\|}_{k(s)} \underbrace{\|\beta(s) - p\|}_R \geq |T'(s) \cdot (\beta(s) - p)| = 1 \Rightarrow$$

$$\Rightarrow k(s) \geq \frac{1}{R}. \quad \checkmark$$

□

Teorema fond. della teoria delle curve

Vogliamo caratterizzare le curve con curvatura e torsione

Partiamo mostrando che le isometrie non cambiano queste quantità. Siano $\beta, \tilde{\beta}: I \rightarrow \mathbb{R}^3$ p.l.a., supponendo che $\exists A \in SO(3)$,

$$\tilde{\beta}(s) = A \cdot \beta(s) + b.$$

Verifichiamo che κ e τ coincidano in corrispondenza.

$$\tilde{T}(s) = \tilde{\beta}'(s) = A \cdot \beta'(s) = AT(s).$$

d/ds

$$\Rightarrow \tilde{T}'(s) = \tilde{\beta}''(s) = A \cdot \beta''(s) = AT'(s). (\tilde{N}(s) = AN(s))$$

Dacché A non modifica le norme, le curvature coincidono ✓

$$\begin{aligned}\tilde{B}(s) &= \tilde{T}(s) \times \tilde{N}(s) = AT(s) \times AN(s) \stackrel{*}{=} A(T(s) \times N(s)) = \\ &= AB(s),\end{aligned}$$

dunque anche la torsione rimane invariata. ✓

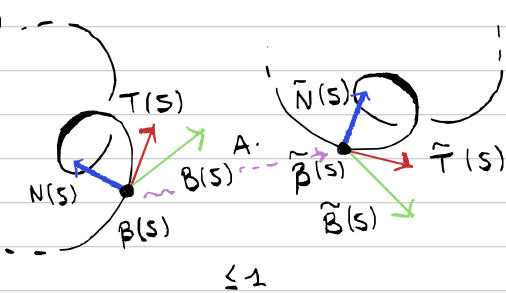
Verifichiamo che la corrispondenza vale anche al contrario...

Teorema (fond d. Teoria delle curve) Due curve $\beta, \tilde{\beta}: I \rightarrow \mathbb{R}^3$ p.l.a.d. Frenet hanno stessa curvatura e torsione sse sono identiche o meno di isometria d. parte lineare con det. positivo (i.e., $A \in SO(3)$) [ossia uniche a meno di congruenza]

→ l'esistenza di una curva di frenet con dati $I \subseteq \mathbb{R}$, $\kappa: I \rightarrow \mathbb{R}^+$, $\tau: I \rightarrow \mathbb{R}$ si vede dal fatto che il sistema di frenet è un sistema di eq. diff. lineari.

(\Leftarrow) appena visto

(\Rightarrow) -



Sia $s_0 \in I$. Sia A la matrice $\in SO(3)$ che ruota $(T(s_0), N(s_0), B(s_0))$ in $(\tilde{T}(s_0), \tilde{N}(s_0), \tilde{B}(s_0))$.

Sia $\beta^*(s) = A\beta(s) + b$. Verifichiamo che $\beta^* = \tilde{\beta}$: sia $f: I \rightarrow \mathbb{R}$:

$$f(s) = T_{\beta^*}(s) \cdot T_{\tilde{\beta}}(s) + N_{\beta^*}(s) \cdot N_{\tilde{\beta}}(s) + B_{\beta^*}(s) \cdot B_{\tilde{\beta}}(s) \quad (1)$$

Allora, derivando (1) e usando le tre eq. di frenet si ottiene:

$$\begin{aligned}f'(s) &= T_{\beta^*}'(s) \cdot T_{\tilde{\beta}}(s) + T_{\beta^*}(s) \cdot T_{\tilde{\beta}}'(s) + N_{\beta^*}'(s) \cdot N_{\tilde{\beta}}(s) + N_{\beta^*}(s) \cdot N_{\tilde{\beta}}'(s) \\ &\quad + B_{\beta^*}'(s) \cdot B_{\tilde{\beta}}(s) + B_{\beta^*}(s) \cdot B_{\tilde{\beta}}'(s) = (2)\end{aligned}$$

* s. è usato che per $A \in SO(3)$, $(Av) \times (Aw) = A(v \times w)$.

$$k_{\beta^*} = k_\beta = k_{\tilde{\beta}}$$

$$\tau_{\beta^*} = \tau_\beta = \tau_{\tilde{\beta}}$$

$$(*) \underbrace{K_{\beta^*}}_{\substack{1^\alpha, 2^\alpha, 3^\alpha \text{ eq.} \\ \text{d. Frenet}}}(N_{\beta^*}(s) T_{\tilde{\beta}}(s) + \overline{T_{\tilde{\beta}}(s)} N_{\beta^*}(s)) +$$

$$- K_{\beta^*}(N_{\beta^*}(s) T_{\tilde{\beta}}(s) + \overline{T_{\tilde{\beta}}(s)} N_{\beta^*}(s)) +$$

$$+ \tau_{\beta^*}(B_{\tilde{\beta}}(s) N_{\beta^*}(s) + N_{\tilde{\beta}}(s) B_{\beta^*}(s)) - \tau_{\beta^*}(B_{\tilde{\beta}}(s) N_{\beta^*}(s)) +$$

$$+ N_{\tilde{\beta}}(s) B_{\beta^*}(s) = 0$$

Dal momento che I è connesso, f è costante, ovvero sia:

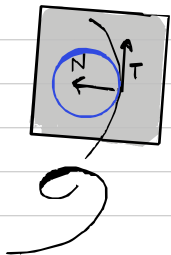
$$f(s) = f(s_0) = \|AT_{\beta}(s)\|^2 + \|AN_{\beta}(s)\|^2 + \|AB_{\beta}(s)\|^2 =$$

$$= 3,$$

$$\begin{cases} \tilde{\beta}'(s_0) = \beta^*(s_0) \\ \tilde{\beta}(s_0) = \beta^*(s_0) \end{cases}$$

da cui $(T_{\tilde{\beta}}, N_{\tilde{\beta}}, B_{\tilde{\beta}}) = (T_{\beta^*}, N_{\beta^*}, B_{\beta^*})$ in ogni p.t. \rightsquigarrow
 $\rightsquigarrow \tilde{\beta} = \beta^*$. \square

Sia $\gamma: I \rightarrow \mathbb{R}^3$ una curva p.l.a. di Frenet. Si definisce il piano osculatore in $\gamma(s_0)$ come il piano affine $\gamma(s_0) + \text{span}(T(s_0), N(s_0))$ ed è il piano in cui meglio si colloca la curva localmente.



Definiamo il cerchio osculatore in $\gamma(s_0)$ come il cerchio C di centro P e raggio R nel piano osculatore che "meglio approssima" γ intorno a s_0 , ovvero che, posta

$$f(s) \triangleq \|\gamma(s) - P\|^2 - R^2, \text{ sia t.c.:}$$

$$\cdot f(s_0) = 0 \quad (\gamma(s_0) \in C) \quad \cdot f'(s_0) = f''(s_0) = 0 \quad (\text{appr. al II° ord.})$$

$$\rightsquigarrow f'(s) = 2\gamma'(s) \cdot (\gamma(s) - P) =, \quad f''(s) = 2(\gamma''(s) \cdot (\gamma(s) - P) + \| \gamma'(s) \|^2) =$$

$$= 2(K(s)N(s) \cdot (\gamma(s) - P) + + 1).$$

** : Triedri sono triedri di versori, dunque, e.g., $\tilde{T} \tilde{T}' = 1 \Rightarrow \tilde{T} = \tilde{T}^*$

Quindi:

$$\left. \begin{array}{l} f' = 0 \quad T(s_0) \cdot (\gamma(s_0) - p) = 0 \Rightarrow T(s_0) \perp (\gamma(s_0) - p) \Rightarrow \gamma(s_0) - p \parallel N(s_0) \\ f'' = 0 \quad N(s_0) \cdot (\gamma(s_0) - p) = -\frac{1}{\kappa(s_0)} \Rightarrow \gamma(s_0) - p = -\frac{1}{\kappa(s_0)} N(s_0) \Rightarrow \\ \qquad \qquad \qquad \Rightarrow p = \gamma(s_0) + \frac{1}{\kappa(s_0)} N(s_0) \\ f = 0 \quad \| \gamma(s_0) - p \|^2 - R^2 = 0 \Rightarrow R = \frac{1}{\kappa(s_0)} \end{array} \right\}$$

Dunque il cerchio osculatore esiste sempre in $\gamma(s_0)$, ha
raggio $\frac{1}{\kappa(s_0)}$ e centro $\gamma(s_0) + \frac{1}{\kappa(s_0)} N(s_0)$.

Il valore $\frac{1}{\kappa(s_0)}$ e' dunque detto raggio di curvatura.